

ИЗВЕСТИЯ
ТОМСКОГО ОРДЕНА ТРУДОВОГО КРАСНОГО ЗНАМЕНИ
ПОЛИТЕХНИЧЕСКОГО ИНСТИТУТА имени С. М. КИРОВА

Том 153

1965

К ВОПРОСУ АНАЛИЗА ЦЕПЕЙ КОРРЕКЦИИ ПРИВОДОВ МУС-Д

В. А. СЕВАСТЬЯНОВ, А. П. ИНЕШИН, А. И. ЕСИН

(Рекомендовано научным семинаром кафедры ЭПП Томского
политехнического института)

Разработка и выпуск комплектных приводов широкого диапазона регулирования скорости с силовыми магнитными усилителями с самонасыщением (МУС), их лабораторные исследования и промышленные испытания позволяют в настоящее время сделать ряд выводов относительно особенностей коррекции приводов указанного типа. Этот вопрос представляет значительный интерес еще и потому, что в известных схемах аналогичных приводов зарубежных фирм AEG и др., где применяется отрицательная обратная связь по скорости двигателя с помощью тахогенератора, а в качестве последовательного каскада усиления используются серийные транзисторные усилители постоянного тока, цепи коррекции не показаны [1].

В приводах отечественного производства [2] вопросы коррекции и стабилизации решаются посредством применения структур, широко апробированных в регулируемых приводах с электромашинными усилителями (ЭМУ).

Однако МУС принципиально отличается от ЭМУ передаточной функцией, включающей, в частности, звено запаздывания, дискретным характером работы и нереверсивностью из-за наличия вентилей в силовой цепи. Поэтому заслуживает внимания вопрос разработки стабилизации применительно к системам с МУС.

Динамические свойства нескорректированной системы определяются из анализа передаточной функции разомкнутой системы привода (рис. 1 а или б)

$$W(p) = \frac{K_{\text{ппу}} \cdot K_{\text{му}} \cdot e^{-p\tau} \cdot K_d \cdot \gamma}{(1 + pT_{\text{му}})(1 + pT_m + p^2 T_m T_a)}, \quad (1)$$

где $K_{\text{му}}$, $K_{\text{ппу}}$ — соответственно коэффициенты усиления МУС и ППУ;

$K_d = K_{d1} \cdot K_{d2}$; γ — коэффициенты передачи электродвигателя и ТГ;

$T_{\text{му}}$; T_m ; T_a — постоянные времени, характеризующие МУС и двигатель;

τ — постоянное запаздывание в полупериод несущей частоты, которым в замкнутых САР пренебрегать нельзя.

Частота среза ω_c и возможный по условию устойчивости статический коэффициент усиления такой системы определяются из анализа выражений для модуля А (ω) и фазы $\varphi(\omega)$, ее амплитудно-фазовой частотной характеристики (АФЧХ). Система имеет угол запаздывания 180° на частоте, для которой:

$$\varphi(\omega) = \pi = \omega_c \tau + \arctg \omega_c T_{my} + \arctg \frac{\omega_c T_m}{1 - T_m T_y \omega_c^2} \quad (2)$$

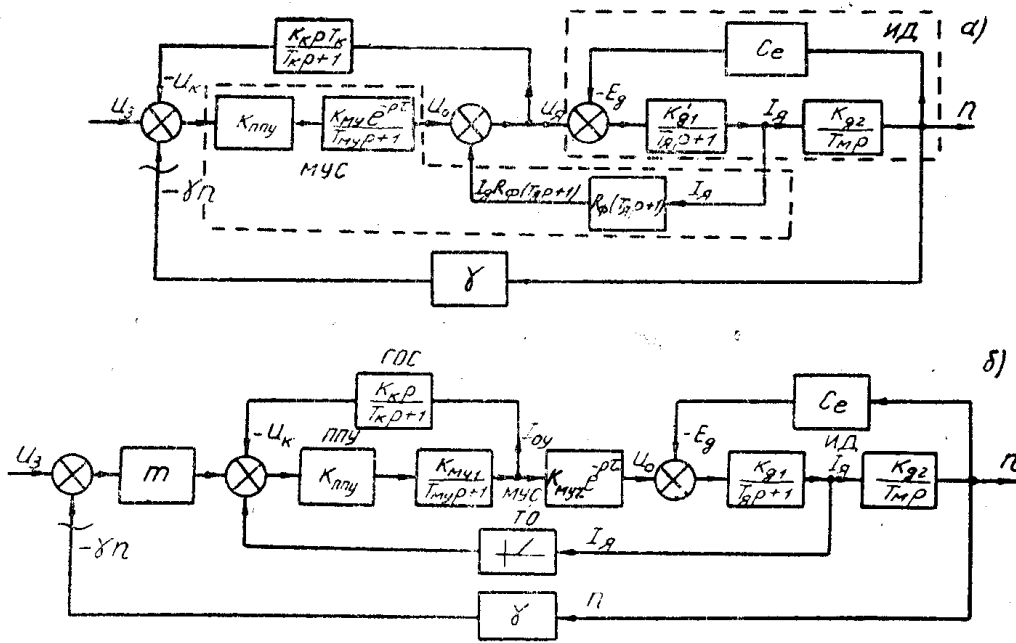


Рис. 1

При этом по условию устойчивости аналитическая запись критерия Найквиста будет:

$$A(\omega) = \frac{K_{ppu} \cdot K_{my} \cdot K_d \cdot \gamma}{\sqrt{1 + (\omega_c T_{my})^2} \cdot \sqrt{(1 - \omega_c^2 T_m T_y)^2 + (T_m \omega_c)^2}} \leq 1, \quad (3)$$

Принимая, что частота среза разомкнутой системы не превышает резонансной используемого двигателя, при которой вещественная часть его частотной характеристики равна нулю, можно выражение (3) преобразовать в вид:

$$\frac{K_{ppu} \cdot K_{my} \cdot K_d \cdot \gamma}{\omega_c \cdot T_m \cdot \sqrt{(\omega_c \cdot T_{my})^2}} \leq 1, \quad (4)$$

где $\omega_c T_{my} \gg 1$, а $\omega_c \approx \omega_{180} \approx \frac{1}{\sqrt{T_m T_y}}$.

Решая (4) относительно возможной по условию устойчивости величины критического коэффициента усиления, получим:

$$K = K_{ppu} \cdot K_{my} \cdot K_d \cdot \gamma \leq \frac{T_{my}}{T_y}, \quad (5)$$

что свидетельствует о низких динамических и статических свойствах нескорректированных систем МУС-Д, способных обеспечить небольшой диапазон регулирования скорости. Одним из обязательных условий при расширении диапазона регулирования скорости исполнительного двигателя является применение цепей коррекции [3], что позволяет реализовать большой коэффициент усиления САР без потери ее устойчивости. Так, например, в приводах серий ППМУ для диапазона регулирования 100 ± 1 с целью обеспечения устойчивости работы привода вводится [2] параллельная коррекция — цепь RC, охватывающая преобразователь — МУС и ППУ. Структурная схема этой САР приведена на рис. 1 а.

Передаточная функция скорректированной разомкнутой САР имеет вид:

$$W(p) = \frac{W_n(p)}{1 + W_n(p) \cdot W_k(p)} \cdot W_d(p), \quad (6)$$

где $W_n(p)$; $W_k(p)$; $W_d(p)$ — соответственно передаточные функции корректирующего звена, преобразователя и электродвигателя.

Для устойчивой системы при $W_n(p) \cdot W_k(p) \gg 1$ в полосе пропускания частот САР, единицей в знаменателе выражения (6) можно пренебречь и тогда:

$$W(p) = \frac{W_d(p)}{W_k(p)}, \text{ т. е. динамическая характеристика}$$

преобразователя стабилизируется цепью коррекции.

Для последовательного введения сигнала стабилизирующего звена в контур сравнения (рис. 2) можно получить выражение для входного тока промежуточного усилителя в операторной форме

$$I_{bx}(p) = \frac{U_{bx}(p)}{R_{bx}} = \frac{U_2(p) - E_{tr}(p) - \frac{K_k p T_k U_d(p)}{1 + p T_k}}{r_{tr} + R_e + r_{bx} + R_n \cdot \alpha (1 - \alpha)}, \quad (7)$$

$$\text{где } T_k = C_k (R_k + R_c); \quad \alpha = \frac{R_1}{R_n}; \quad K_k = \frac{R_c}{R_k + R_c} < 1.$$

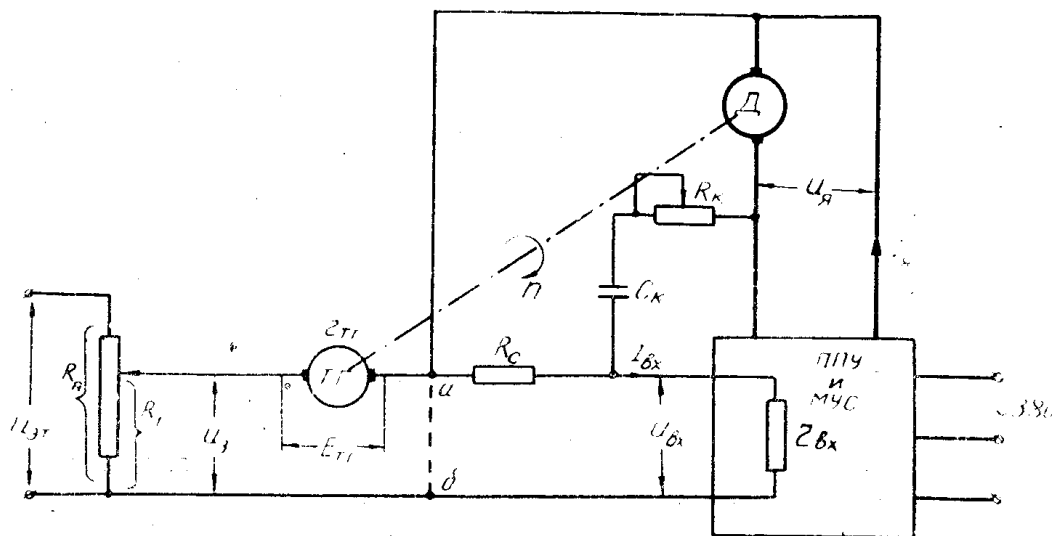


Рис. 2.

Заслуживает внимания способ введения сигнала коррекции параллельно входу ППУ рис. 2 (пунктиром), принятый рядом станкостроительных организаций, например [3]. В этом случае в выражении (7)

$$T_k = T'_k \cdot C_k R_k; \quad K_k = K'_k = \frac{R'_{bx}}{R_k},$$

$$\text{где } R'_{bx} = R_h \cdot \alpha (1 - \alpha) + r_{tr} + R_c.$$

При регулировании коэффициента усиления в функции уставки скорости рассмотренные способы введения сигнала коррекции неравносценны, так как K_k при прочих равных условиях, пропорционален R_{bx} только во втором случае. Сопротивление R'_{bx} можно выбирать в широких пределах, поэтому K'_k может иметь значение как меньше, так и больше 1, что позволяет обеспечить большие пределы регулирования настройки коррекции. Выбор коэффициента передачи цепи коррекции K_k и постоянной времени T_k следует осуществлять в соответствии с [3] из диаграмм анализа обобщенных структур. Особенностью расчета параметров гибкой обратной связи применительно к системе МУС-Д является зависимость T_m от тока I_a нагрузки вследствие нелинейного сопротивления силовых селеновых вентиляй [2].

$$K_k = \frac{1}{A \frac{T_m}{T_y} - 1} \quad (8) \quad \text{и} \quad T_k = \frac{1}{K_k \frac{T_m}{T_y} B}, \quad (9)$$

где А и В — обобщенные параметры системы, выбираемые из условия допустимой величины перерегулирования $\sigma\%$ и минимального времени регулирования $t_{p,min}$.

Выбранные по (8,9) параметры коррекции необходимо проверять по условию устойчивости преобразователя с учетом постоянного запаздывания τ при охвате его дифференцирующим звеном [4]. Для структурной схемы разомкнутого внутреннего охвата САР, представленной на рис. 1 а, АФЧХ имеет вид:

$$W_{bo}(j\omega) = A_{bo}(\omega) \cdot e^{-j\varphi_{bo}(\omega)} = K_{ppy} \frac{K_{my} \cdot e^{-j\omega\tau}}{(1 + \omega T_{my})} \cdot \frac{K_k \cdot j\omega \cdot T_k}{(1 + j\omega T_k)},$$

где $A_{bo}(\omega)$ — модуль АФЧХ внутреннего охвата при, $\varphi_{bo}(\omega)$ — фаза.

Условие устойчивости внутреннего охвата по Найквисту при

$$\omega_{180} \cdot T_{my} \gg 1 \quad \text{и}$$

$$\frac{K \cdot j\omega_{180} \cdot T_k}{1 + j\omega_{180} \cdot T_k} \approx K_k \quad \text{будет}$$

$$A_{bo}(\omega_{180}) = \frac{K_{ppy} \cdot K_{my} \cdot K_k}{V(\omega_{180} \cdot T_{my})^2} = \frac{K_{ppy} \cdot K_{my} \cdot K_k}{\omega_{180} \cdot T_{my}} \leq 1 \quad (10)$$

$$\text{и } \varphi_{bo}(\omega_{180}) = \pi = \arctg \omega_{180} \cdot T_{my} + \omega_{180} \cdot \tau \approx \frac{\pi}{2} + \omega_{180} \tau.$$

Отсюда

$$\omega_{180} = \frac{\pi}{2\tau}.$$

Величина критического коэффициента усиления преобразователя:

$$K_{\text{изу}} \cdot K_{\text{му}} = \frac{\pi \cdot T_{\text{му}}}{2\tau K_k}. \quad (11)$$

Расширение диапазона регулирования скорости исполнительного двигателя в приводах с МУС при использовании параллельной коррекции цепью RC, как следует из (11), возможно обеспечить лишь за счет увеличения постоянной времени преобразователя $T_{\text{му}}$. Таким образом, требования увеличения диапазона регулирования и статической точности системы находятся в противоречии по условию устойчивости внутреннего охвата САР с ее быстродействием. Поэтому применение рассмотренной параллельной коррекции в диапазоне более чем 100:1, нецелесообразно. Кроме того, ввиду существенной пульсации выходного напряжения МУС, по цепи RC на вход ППУ передается сильнейший уровень помех (рис. 2).

В связи с этим, заслуживает внимания вопрос разработки и исследования для системы электроприводов МУС-Д другого более помехоустойчивого, например, электромагнитного варианта коррекции. В [5] показано, что для снятия корректирующего сигнала электромагнитным путем можно использовать свободную обмотку управления магнитного усилителя, что эквивалентно применению дифференцирующего трансформатора.

На кафедре «Электропривод и автоматизация промышленных установок» Ульяновского политехнического института разработан электропривод МУС-Д с ППУ класса Д диапазона 200:1. Структурная схема этого электропривода изображена на рис. 1 б. Здесь: ИД — исполнительный электродвигатель, МУС — магнитный усилитель самонасыщения, ППУ — промежуточный полупроводниковый усилитель класса Д, ТГ — тахогенератор, УС — узел сравнения с переменным коэффициентом передачи m , ГОС — гибкая обратная связь по производной суммарного магнитного потока МУС, ТО — цепь токоограничения.

Магнитный усилитель с выведенным сигналом электромагнитной коррекции при этом структурно разделяется на два звена, из которых

первое — апериодическое вида $\frac{K_{\text{му}1}}{1 + p \cdot T_{\text{му}}}$ охвачено цепью коррекции,

(гибкой отрицательной обратной связью), а второе, звено чистого запаздывания вида $K_{\text{му}2} e^{-pt}$ входит в контур внешнего охвата [5].

Внутренний охват, включающий безынерционный ППУ, цепь управления — МУС и собственно звено электромагнитной коррекции, теперь является устойчивым при любых значениях коэффициентов усиления охваченных звеньев, что следует из (11) при $\tau=0$.

Исследование электромагнитного варианта коррекции в приводе проводилось по схеме рис. 3.

Указанные на рис. 3 величины регистрировались с помощью шлейфового осциллографа.

Для изменения уровня сигнала стабилизации в цепь коррекции был введен ключ управления (переключатель на 4 положения). Результаты экспериментального испытания зарегистрированы на приведенной осциллограмме (рис. 4). На начальном участке осциллограмм кривые I_a , U_a , n и U_k свидетельствуют о вполне стабильной работе привода в установившемся режиме ($n=\text{Const}$). Кривые I_a и U_a имеют пульсации

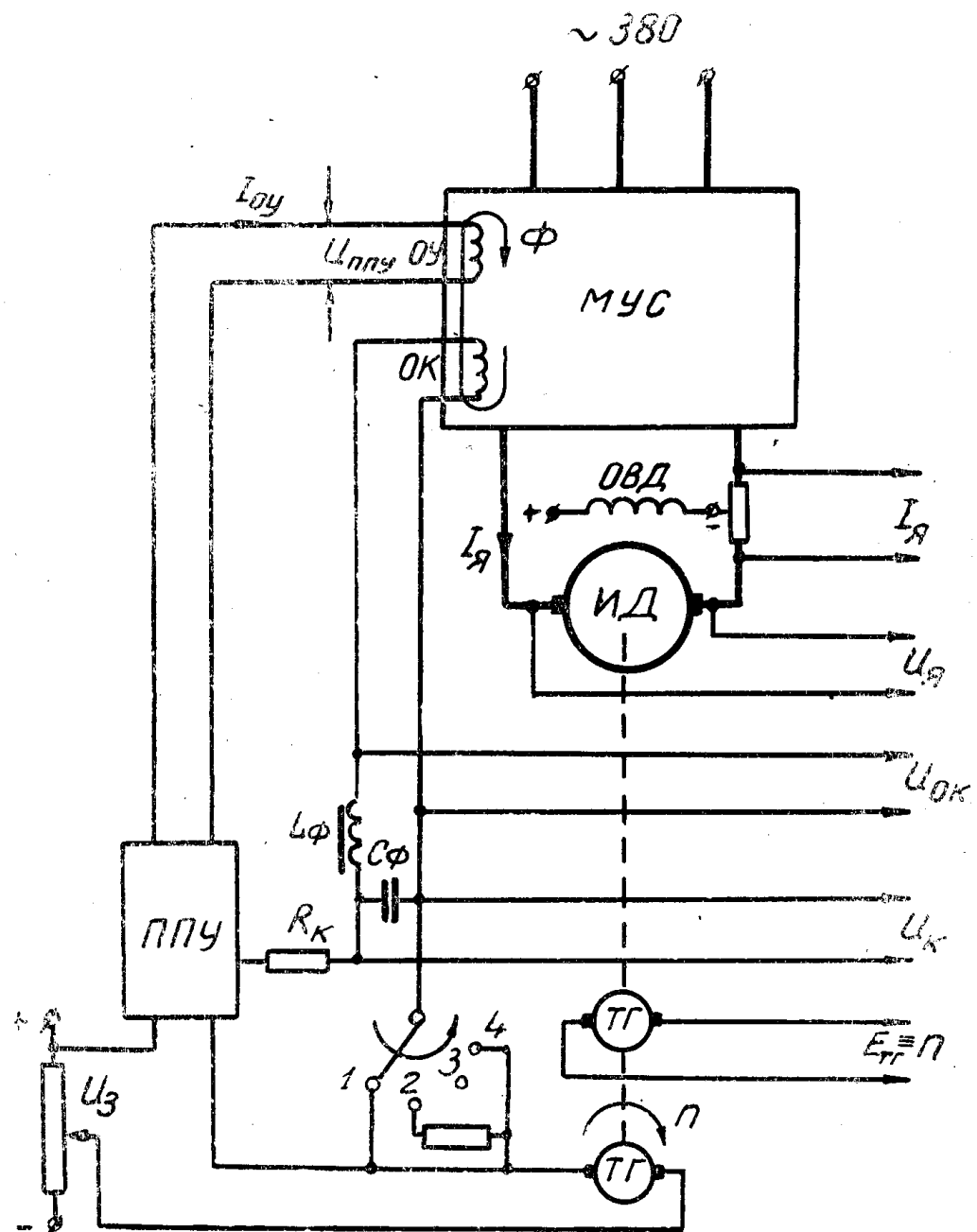


Рис. 3.

с частотой 300 и 100 гц. Последняя является следствием работы широтно-импульсного модулятора ППУ на этой несущей частоте. В момент времени t_1 переключатель переводится в положение 2, а в момент t_2 на валу ИД с помощью тормозного устройства создается толчок нагрузки. Ввиду действия ослабленной коррекции колебания привода носят затухающий характер. Частота колебаний составляет 6,3 гц. В момент времени t_3 переключатель переводился в положение 3. Ввиду размыкания цепи коррекции привод переходит в режим жесткого возбуждения автоколебаний с частотой 4 гц. Осциллографмма показывает, что напряжение сигналов коррекции U_k на всех участках пропорционально производным I_a и U_a . Кривые I_a и U_a ввиду предельного переключения ППУ

большими сигналами на его входе содержат пульсации лишь частоты 300 гц. В момент времени t_4 переключатель был переведен в положение 4. Ввиду восстановления цепи коррекции с исходными параметрами начинается процесс стабилизации привода. Из осциллограммы на этом участке видно, что включение цепи коррекции через 0,5 сек. приводит к стабилизации и установившемуся движению привода с заданной скоростью, однако, как и для случая коррекции RC, при этом ухудшается быстродействие САР.

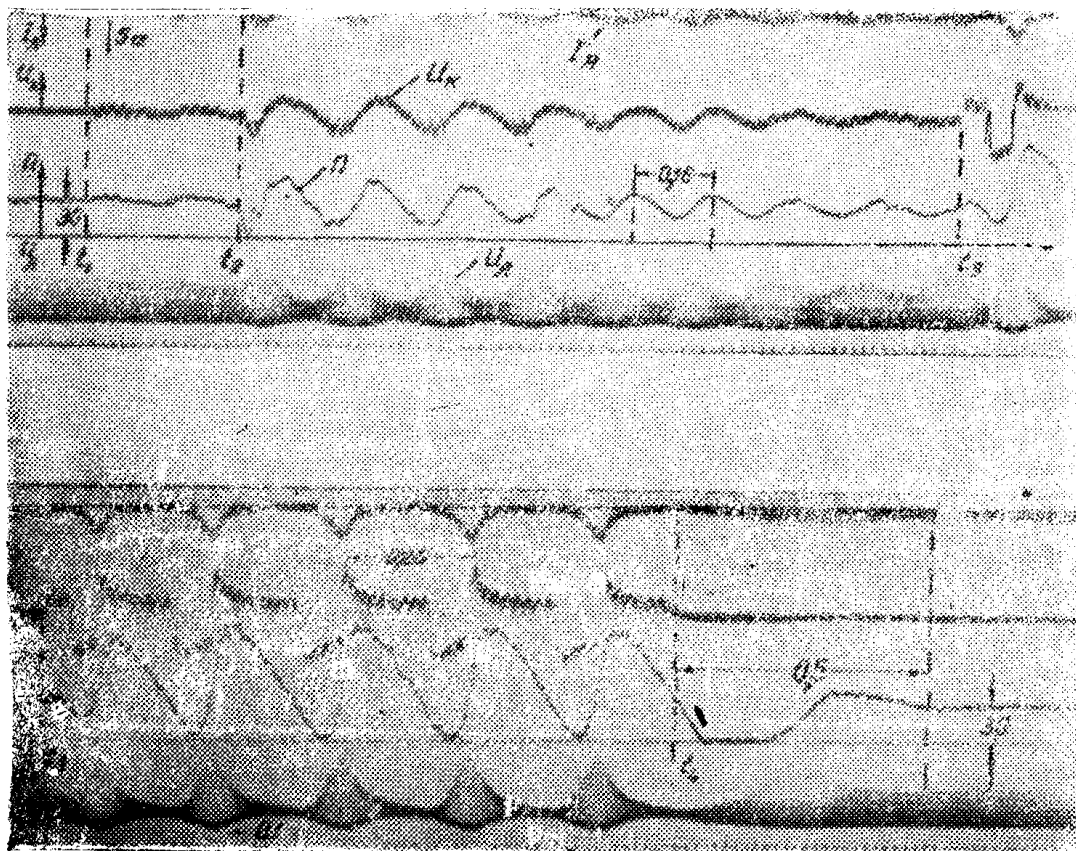
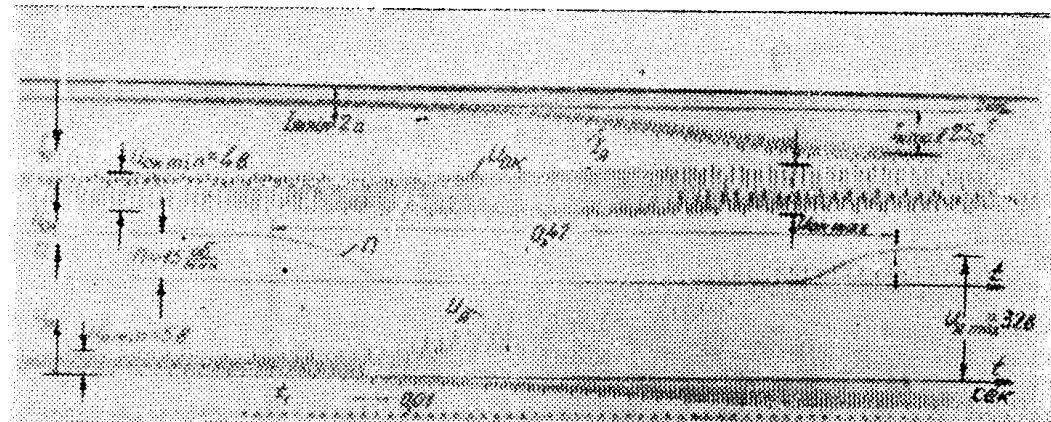


Рис. 4.



Для сравнительной оценки влияния помех в схеме привода с электромагнитной коррекцией (рис. 3) по сравнению с рассмотренной RC коррекцией снята осциллограмма (рис. 5).

Исполнительный двигатель, вращающийся с минимальной скоростью на холостом ходу в момент времени t_1 , нагружался моментом полуторакратным от номинального. Динамическая просадка скорости двигателя составляла при этом 100 %, то есть двигатель останавливался, а затем по мере роста тока и момента на его валу вновь набирал заданную скорость вращения. При этом регистрировались изменения величин напряжений на обмотке коррекции $U_{ок}$ и на якоре исполнительного двигателя U_a . Величина напряжения помехи $U_{ок}$ возрастает на 25 %, а величина напряжения помехи U_a соответственно на 625 % при увеличении тока якоря от 2 а до 25 а. Следовательно, с точки зрения влияния помех на статическую точность системы электромагнитный способ коррекции выгодно отличается от RC коррекции тем, что величина напряжений помех, а следовательно, и ее влияние на коэффициент усиления системы, в значительно меньшей степени зависит от величины нагрузки двигателя. Действие помехи при таком способе коррекции сводится лишь к первоначальному снижению коэффициента усиления ППУ, что может быть учтено при выборе коэффициента усиления промежуточного усилителя.

Выводы

1. Нескорректированная система МУС-Д из-за плохих статических и динамических свойств может применяться в электроприводах только с небольшим диапазоном регулирования скорости.

2. Реализация структуры с параллельной коррекцией цепью RC для диапазона регулирования более чем 100:1 затруднительна ввиду плохой помехозащищенности и противоречия между условием устойчивости внутреннего охвата преобразователя и динамикой системы.

3. Заслуживает внимания применение в системах электропривода МУС-Д с ППУ вариант электромагнитной коррекции, отличающейся помехоустойчивостью и позволяющей в связи с этим получить более широкий диапазон регулирования скорости при удовлетворительных динамических показателях.

ЛИТЕРАТУРА

1. Системы бесконтактного управления ведущих зарубежных фирм. Москва, 1962.
2. А. Я. Петровский, Я. Б. Розман. Регулируемый электропривод с магнитными усилителями. Изд. «Энергия», 1964.
3. Я. С. Бровман, В. Г. Каган, Ф. Д. Кочубиевский. Электроприводы с полупроводниковым управлением. Системы с электромашинными преобразователями (ПМК-Г-Д). «Энергия», 1964.
4. М. В. Мееров. Синтез структур систем автоматического регулирования высокой точности. Физматгиз, 1960.
5. М. А. Розенблат. Магнитные усилители. Изд. «Советское радио», 1960.